

**7-5-2** 根据场强与电势梯度的关系分析下列问题. (1) 在电势不变的空间, 电场强度是否为零? (2) 在电势为零处, 场强是否一定为零? (3) 场强为零处, 电势是否一定为零? (4) 在均匀电场中, 各点的电势梯度是否相等? 各点的电势是否相等.

答: 由场强与电势梯度的关系  $\mathbf{E} = -\frac{dV}{dn}\mathbf{e}_n = -\text{grad } V$  可知:

(1) 由于空间中电势恒定不变, 其梯度等于零, 所以电场强度为零. 例如一个带电的金属球, 其电势是一常数, 恒定不变, 而球内各点的电场强度为零.

(2) 已知某点电势为零, 还不能说该点的电场强度为零. 因为决定电场强度的是该点附近的电势分布, 而不是该点的电势值. 例如电偶极子中垂线上各点的电势均为零, 但电场强度都不为零.

(3) 不一定, 如果该点附近的电势没有变化是一常数值, 那么电势梯度为零, 电场强度必定为零, 而电势仍可以是一相对零电势点很高的值. 例如一个带电的金属球, 其内部各点的电场强度均为零, 但各点的电势可以是一不为零的常数值.

(4) 在均匀电场中, 各点的电场强度值相等, 电势梯度为一常数, 但在不同的方向上, 电势变化率是不一样的, 在沿电场方向电势空间变化率为最大, 也就是说在这个方向上的电势在作最大的线性增加; 而在垂直于电场线方向上电势空间变化率最小为零, 在这个方向上各点的电势相等. 例如平行板电容器内的电场是一均匀电场, 各点的电场强度大小相等, 在垂直平行板方向上各点的电势随距离线性增加, 而在平行于平行板方向上各点的电势有相同的大小, 但不同的平行面上有不同的电势值.

## 例：均匀带电球壳的电场强度

一半径为 $R$ ，均匀带电 $Q$ 的薄球壳．求球壳内外任意点的电场强度．

解 (1)  $0 < r < R$

$$\oiint_{S_1} \vec{E} \cdot d\vec{S} = 0$$

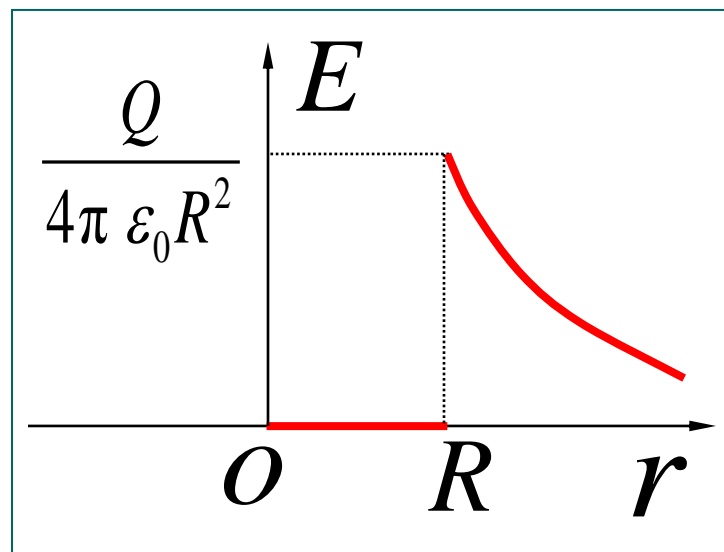
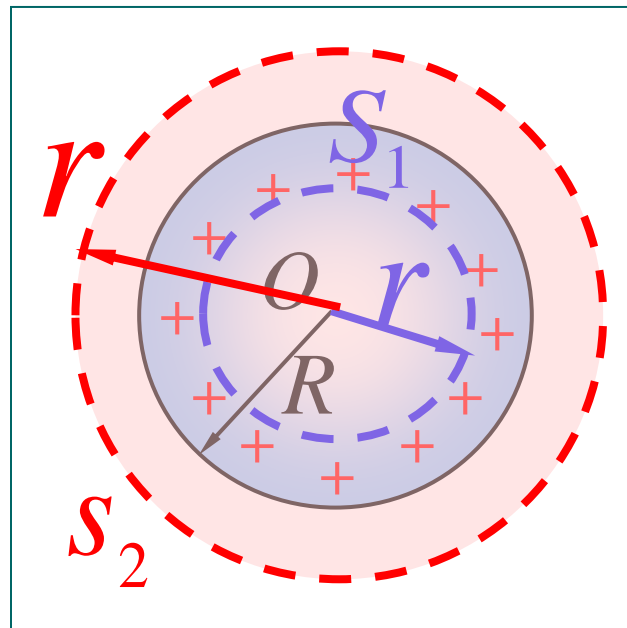
$$\vec{E} = 0$$

(2)  $r > R$

$$\oiint_{S_2} \vec{E} \cdot d\vec{S} = \frac{Q}{\varepsilon_0}$$

$$4\pi r^2 E = \frac{Q}{\varepsilon_0}$$

$$E = \frac{Q}{4\pi \varepsilon_0 r^2}$$



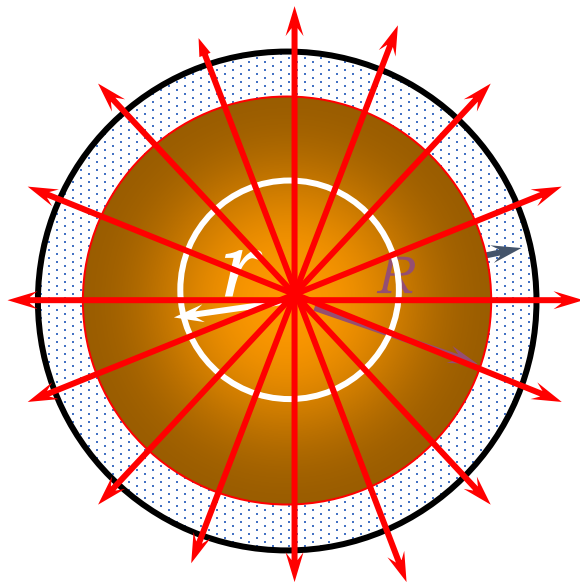
例：均匀带电球体的电场。球半径为R，球的介电常数为  $\varepsilon_0$ ，总电量为 Q 。

解：电场分布也应有球对称性，方向沿径向。

作同心且半径为r的高斯面

$$\oiint_S \vec{E} \cdot d\vec{S} = E \cdot 4\pi r^2 = \frac{\sum q}{\varepsilon_0}$$

$$E = \frac{\sum q}{4\pi\varepsilon_0 r^2}$$



$$E = \frac{\sum q}{4\pi\epsilon_0 r^2}$$

$$\rho = \frac{Q}{\frac{4}{3}\pi R^3}$$

$r < R$  时，高斯面内电荷

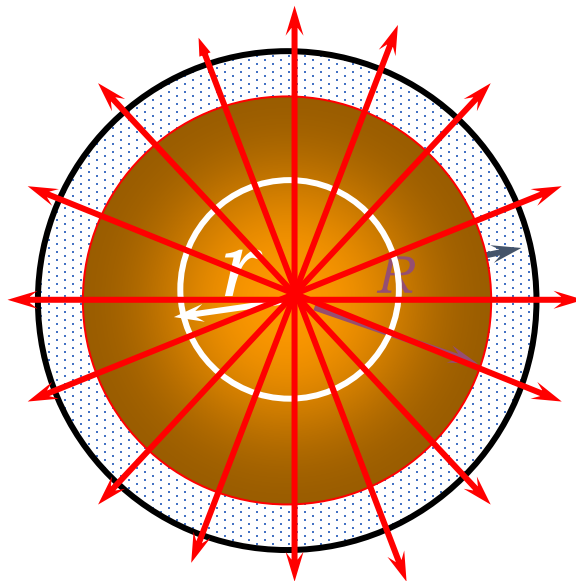
$$\sum q = \int \rho dV = \rho \cdot \frac{4}{3}\pi r^3$$

$$E = \frac{\rho}{3\epsilon_0} r = \frac{Qr}{4\pi\epsilon_0 R^3}$$

$r > R$  时，高斯面内电荷

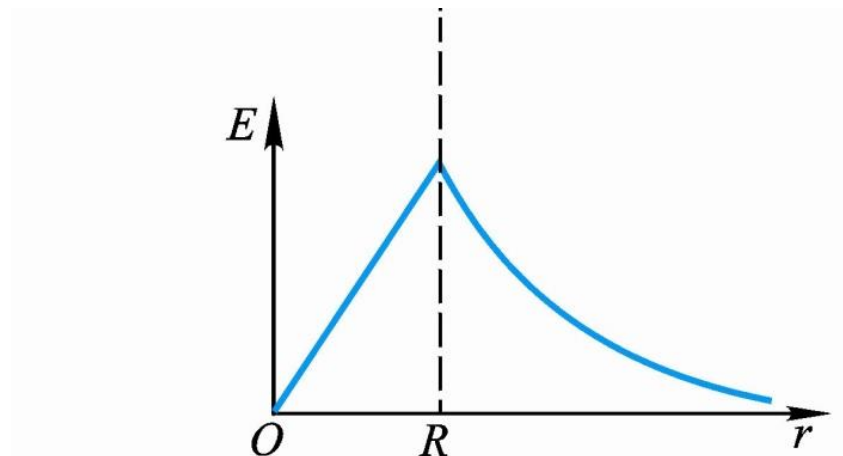
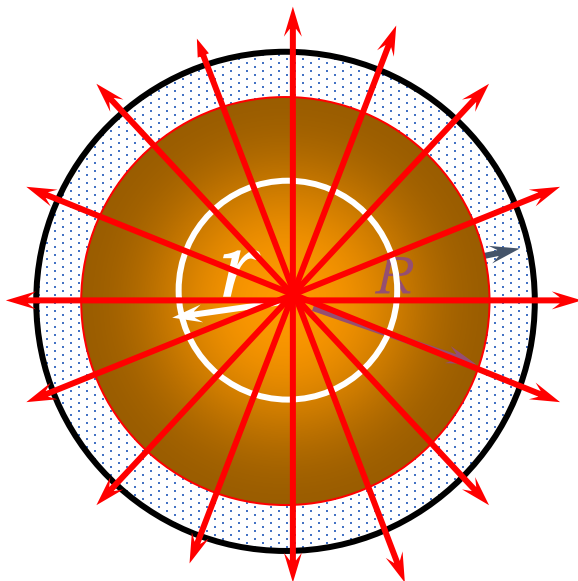
$$\sum q = \rho \cdot \frac{4}{3}\pi R^3$$

$$E = \frac{Q}{4\pi\epsilon_0 r^2}$$

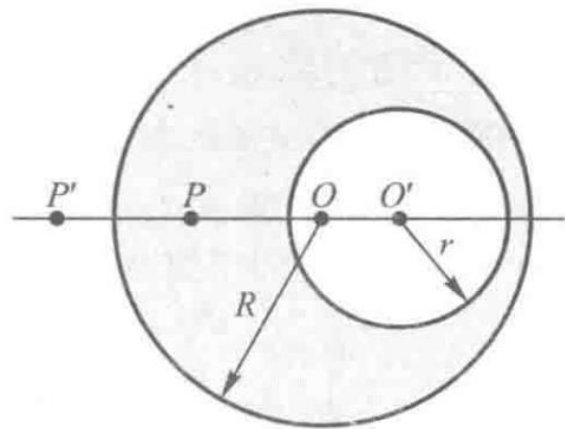


## 均匀带电球体的电场分布

$$E = \begin{cases} \frac{Qr}{4\pi\epsilon_0 R^3} & r < R \\ \frac{Q}{4\pi\epsilon_0 r^2} & r > R \end{cases}$$



7-22. 在半径为  $a$ , 电荷体密度为  $\rho$  的均匀带电球内, 挖去一个半径为  $b$  的小球,  $OO' = c$ , 如习题 7-22 图所示。试求:  $O$ 、 $O'$ 、 $P$ 、 $P'$  各点的电场强度。 $O$ 、 $O'$ 、 $P$ 、 $P'$  在一条直线上。



习题 7-22 图

分析: 将挖去小球的空腔看作是在原来均匀带电  $\rho$  的球内, 填进一个均匀带  $-\rho$  的小球构成的。根据电场强度的叠加原理可知, 各点的电场强度为带  $\rho$  的大球和带  $-\rho$  的小球各自在这些点激发的电场强度的矢量和。

解: 设大、小带电球体的电场强度分别为  $E_1$  和  $E_2$ , 则空间各点处的合场强为

$$\mathbf{E} = \mathbf{E}_1 + \mathbf{E}_2$$

分别对大球和小球运用高斯定理, 可以得到  $E_1$  和  $E_2$  分别为

$$\mathbf{E}_1 = \begin{cases} \frac{\rho r}{3\epsilon_0} \mathbf{e}_r & r < a \\ \frac{\rho a^3}{3\epsilon_0 r^2} \mathbf{e}_r & r > a \end{cases}, \quad \mathbf{E}_2 = \begin{cases} -\frac{\rho r'}{3\epsilon_0} \mathbf{e}'_r & r' < b \\ -\frac{\rho b^3}{3\epsilon_0 r'^2} \mathbf{e}'_r & r' > b \end{cases}$$

式中  $\mathbf{e}_r$  为由  $O$  点发出径矢  $\mathbf{r}$  的单位矢量,  $\mathbf{e}'_r$  为由  $O'$  点发出径矢  $\mathbf{r}'$  的单位矢量。

在  $O$  点,  $r=0, \mathbf{r}'=c\mathbf{e}'_r=-c\mathbf{e}_r$ 。  $\mathbf{E}_1=0$ , 所以,  $O$  点的电场强度为

$$\mathbf{E}_O = \mathbf{E}_{2O} = -\frac{\rho c}{3\varepsilon_0} \mathbf{e}'_r = \frac{\rho c}{3\varepsilon_0} \mathbf{e}_r$$

在  $O'$  点,  $r'=0, \mathbf{r}=c\mathbf{e}_r$ 。  $\mathbf{E}_2=0$ , 所以,  $O'$  点的电场强度为

$$\mathbf{E}_{O'} = \mathbf{E}_{1O'} = \frac{\rho c}{3\varepsilon_0} \mathbf{e}_r = \mathbf{E}_O$$

在空腔内部  $O$ 、 $O'$  点的电场强度相同, 且为一常矢量。用同样的方法, 可以求得空腔内任意点的电场强度均为上式, 这表明空腔内是一个均匀电场。

$P$  点位于大球内小球外, 且位于  $O'O$  的连线上, 有  $\mathbf{e}'_r = \mathbf{e}_r$ , 可得电场强度为

$$\mathbf{E}_P = \mathbf{E}_{1P} + \mathbf{E}_{2P} = \frac{\rho r_P}{3\varepsilon_0} \mathbf{e}_r - \frac{\rho b^3}{3\varepsilon_0 r_{P'}'^2} \mathbf{e}'_r = \frac{\rho}{3\varepsilon_0} \left( r_P - \frac{b^3}{r_{P'}'^2} \right) \mathbf{e}_r$$

式中  $r_{P'}' = r_P + c$ 。

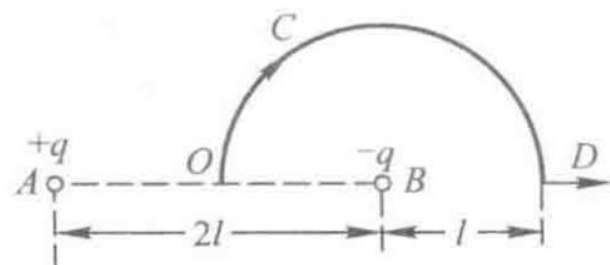
$P'$  点位于两个球外, 同样位于  $O'O$  的连线上, 也有  $\mathbf{e}'_r = \mathbf{e}_r$ , 所以, 电场强度为

$$\mathbf{E}_{P'} = \mathbf{E}_{1P'} + \mathbf{E}_{2P'} = \frac{\rho a^3}{3\varepsilon_0 r^2} \mathbf{e}_r - \frac{\rho b^3}{3\varepsilon_0 r_{P'}'^2} \mathbf{e}'_r = \frac{\rho}{3\varepsilon_0} \left( \frac{a^3}{r_{P'}'^2} - \frac{b^3}{r_{P'}'^2} \right) \mathbf{e}_r$$

式中  $r_{P'}' = r_{P'} + c$ 。

7-34. 如习题 7-34 图所示,  $AB = 2l$ ,  $OCD$  是以  $B$  为中心、 $l$  为半径的半圆,  $A$  点处有正电荷  $+q$ ,  $B$  点处有负电荷  $-q$ , 求:

(1) 把单位正电荷从  $O$  点沿  $OCD$  移到  $D$  点, 电场力对它做了多少功? (2) 把单位正电荷从  $D$  点沿  $AB$  的延长线移到无穷远处, 电场力对它做了多少功?



习题 7-34 图

**解 1:** 静电场力做功与路径无关, 由电势差求解。

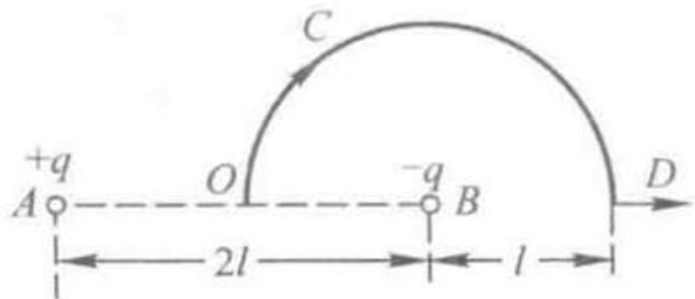
$$(1) V_O = 0, V_D = \frac{1}{4\pi\epsilon_0} \left( \frac{q}{3l} - \frac{q}{l} \right) = -\frac{q}{6\pi\epsilon_0 l}, A_{OD} = q_0 (V_O - V_D) = \frac{q}{6\pi\epsilon_0 l}$$

$$(2) V_\infty = 0, A_{D\infty} = q_0 (V_D - V_\infty) = -\frac{q}{6\pi\epsilon_0 l}$$

**解 2:** 利用功的定义求解。沿  $AB$  的延长线取坐标轴  $Ox$ , 原点在  $O$  点。

(1) 把单位正电荷  $q_0$  从  $O$  点沿  $OCD$  移到  $D$  点,  $-q$  的场强  $E_{-q}$  处处垂直于  $q_0$  的位移, 电场力做功  $A_{-q}$  为零。所以, 电场力做功为





(1) 取O点为坐标原点，OD为X轴正方向，静电力做功与积分路径无关，做功可从O沿X方向积分到D点， $-q$ 电荷产生的电场与OCD处处垂直做功为0

$$A_{OD} = A_{-q} + A_{+q} = 0 + \int_0^{2l} \mathbf{F}_q \cdot d\mathbf{r} = \frac{q_0 q}{4\pi\epsilon_0} \int_0^{2l} \frac{dx}{(x+l)^2} = \frac{q}{6\pi\epsilon_0 l}$$

(2) 取O点为坐标原点，OD为X轴正方向，单位正电荷到 $-q$  (B点) 距离为 $x-l$ ，单位正电荷到 $q$  (A点) 距离为 $x+l$

$$A_{D\infty} = \int_{2l}^{\infty} \mathbf{F} \cdot d\mathbf{r} = \frac{q_0 q}{4\pi\epsilon_0} \int_{2l}^{\infty} \left( \frac{1}{(x+l)^2} - \frac{1}{(x-l)^2} \right) dx = -\frac{q}{6\pi\epsilon_0 l}$$

7-44. 一半径为  $R$  的金属球, 原来不带电, 将它放在点电荷  $+q$  的电场中, 球心与点电荷间距离为  $r (r > R)$ 。求金属球上感应电荷在球心处的电场强度和金属球的电势。若将金属球接地, 求其上的电荷量。

分析: 不带电的金属球处于点电荷  $+q$  的电场中, 将感应出等量异号的电荷, 分布于导体球的外表面。静电平衡时, 所有电荷的电场强度叠加的结果, 使得导体球内的电场强度为零, 成为等势体。

解: (1) 设所有电荷在球心处激发的合场强为  $E_0$ , 其中点电荷  $+q$  在球心处的电场强度为  $E_q$ , 感应电荷的电场强度为  $E$ 。静电平衡时, 导体内部  $O$  点处的合场强为零, 有

$$E_0 = E_q + E' = 0$$

所以, 金属球上感应电荷在球心处的电场强度为

$$E' = -E_q = -\frac{q}{4\pi\epsilon_0 r^2} e_r$$

式中  $e_r$  为  $+q$  指向  $O$  的单位矢量, 球心处的  $E$  与  $E_q$  大小相等方向相反。

设所有电荷在球心  $O$  点处电势的代数和为  $V_0$ , 其中  $+q$  在球心处的电势为  $V_q$ , 感应电荷的电势为  $V'$ 。等量异号的感应电荷分布于球面, 它们在球心处的电势为

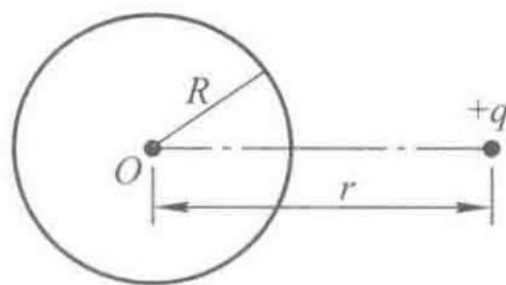
设所有电荷在球心  $O$  点处电势的代数和为  $V_0$ , 其中  $+q$  在球心处的电势为  $V_q$ , 感应电荷的电势为  $V'$ 。等量异号的感应电荷分布于球面, 它们在球心处的电势为

$$V' = \int_q \frac{dq}{4\pi\epsilon_0 R} = 0$$

故有

$$V_0 = V_q + V' = V_q = \frac{q}{4\pi\epsilon_0 r}$$

就是点电荷  $+q$  在球心处的电势, 也是金属球的电势。



解图 7-44

(2) 若将金属球接地, 金属球与地球间将有电荷转移并重新分布。设金属球与地球达静电平衡状态时, 带电为  $q'$ , 与地球等电势,  $V'_0 = 0$ , 有

$$V'_0 = V_q + V'_q = \frac{q}{4\pi\epsilon_0 r} + \frac{q'}{4\pi\epsilon_0 R} = 0$$

得

$$q' = -\frac{R}{r}q$$

7-66. 一平行板空气电容器, 每块极板的面积  $S = 3 \times 10^{-2} \text{ m}^2$ , 极板间的距离  $d_1 = 3 \times 10^{-3} \text{ m}$ , 在平行板之间有一个厚度为  $d_2 = 1 \times 10^{-3} \text{ m}$ , 与地绝缘的平行铜板, 当电容器充电到电势差为 300 V 后与电源断开, 再把铜板从电容器中抽出。问: (1) 电容器内电场强度是否变化? (2) 抽出铜板外界需做功多少?

解: (1) 抽出铜板前, 电容器内电场强度为

$$E = \frac{U_1}{d_1 - d_2} = \frac{300}{(3 - 1) \times 10^{-3}} \text{ V/m} = 1.5 \times 10^5 \text{ V/m}$$

由高斯定理可知, 该电场强度为

$$E = \frac{\sigma}{\epsilon_0} = \frac{q}{\epsilon_0 S}$$

式中  $q$  为极板上的电荷量。由于电容器充电后与电源断开, 因而将铜板抽出后,  $q$  将保持不变, 场强  $E$  也不变, 但极板间的电势差变为

$$U_2 = Ed_1 = \frac{U_1}{d_1 - d_2} d_1 = 450 \text{ V}$$

(2) 在抽出平行铜板的过程中, 外界将克服铜板上感应电荷与极板电荷间的引力做功, 并转化为极板间电场能量的增量。所以, 有

$$A = \Delta W = W_2 - W_1 = \frac{1}{2} \epsilon_0 E^2 \Delta V = \frac{1}{2} \epsilon_0 E^2 S d_2 = 2.99 \times 10^{-6} \text{ J}$$

式中  $\Delta V$  为电场空间体积的增量。

8-19. 一个塑料圆盘, 半径为  $R$ , 电荷  $q$  均匀分布于表面, 圆盘绕通过圆心垂直于盘面的轴转动, 角速度为  $\omega$ 。求圆盘中心处的磁感应强度。

解: 如解图 8-19 所示, 在圆盘上取半径为  $r$  宽为  $dr$  的细圆环, 环上的电荷量为

$$dq = \sigma 2\pi r dr = \frac{q}{\pi R^2} 2\pi r dr = \frac{2q}{R^2} r dr$$

设想一垂直于盘面、沿半径设置的固定面, 在圆盘转动的一个周期  $T$  内, 宽为  $dr$  的细圆环上的电量  $dq$  全部垂直通过了该固定面。根据电流定义, 这个电流微元为

$$dI = \frac{dq}{T} = \frac{dq}{2\pi} \omega = \frac{q\omega}{\pi R^2} r dr$$

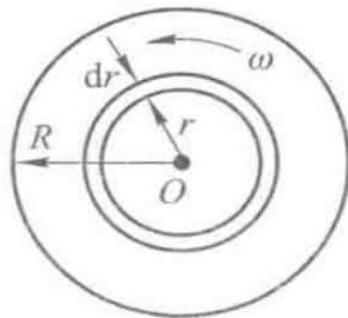
圆电流微元  $dI$  在盘心的磁感应强度为

$$dB = \frac{\mu_0 dI}{2r} = \frac{\mu_0 q\omega}{2\pi R^2} dr$$

积分得到整个圆盘转动时, 在盘心的磁感应强度为

$$B = \int dB = \int_0^R \frac{\mu_0 q\omega}{2\pi R^2} dr = \frac{\mu_0 q\omega}{2\pi R}$$

$B$  的方向沿轴线, 在解图 8-19 中垂直纸面向上。



解图 8-19

## 例：无限长载流圆柱体的磁场

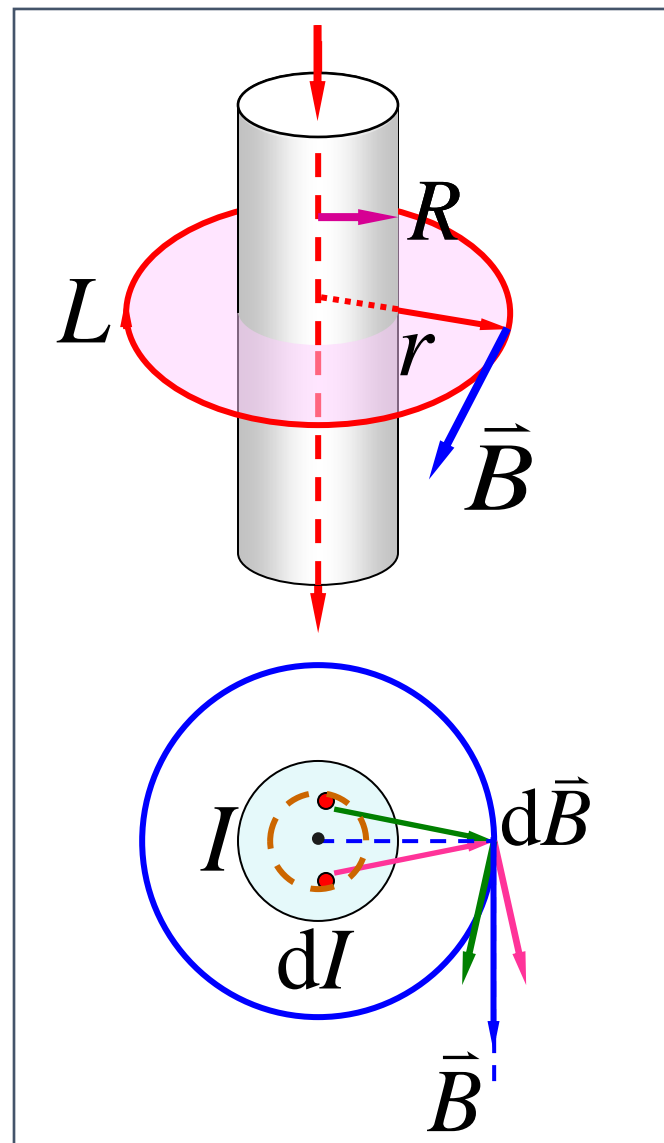
解 1) 对称性分析 2) 选取回路

$$r > R \quad \oint_l \vec{B} \cdot d\vec{l} = \mu_0 I$$

$$2\pi r B = \mu_0 I \quad B = \frac{\mu_0 I}{2\pi r}$$

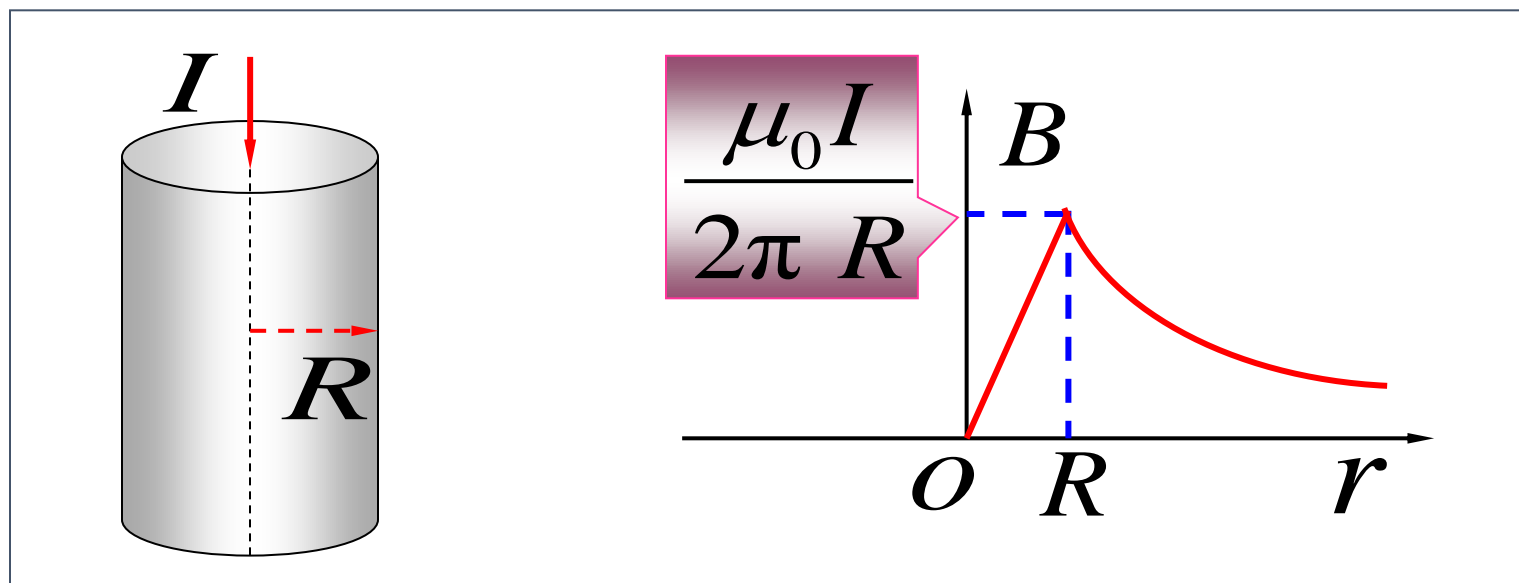
$$0 < r < R \quad \oint_l \vec{B} \cdot d\vec{l} = \mu_0 \frac{\pi r^2}{\pi R^2} I$$

$$2\pi r B = \frac{\mu_0 r^2}{R^2} I \quad B = \frac{\mu_0 I r}{2\pi R^2}$$

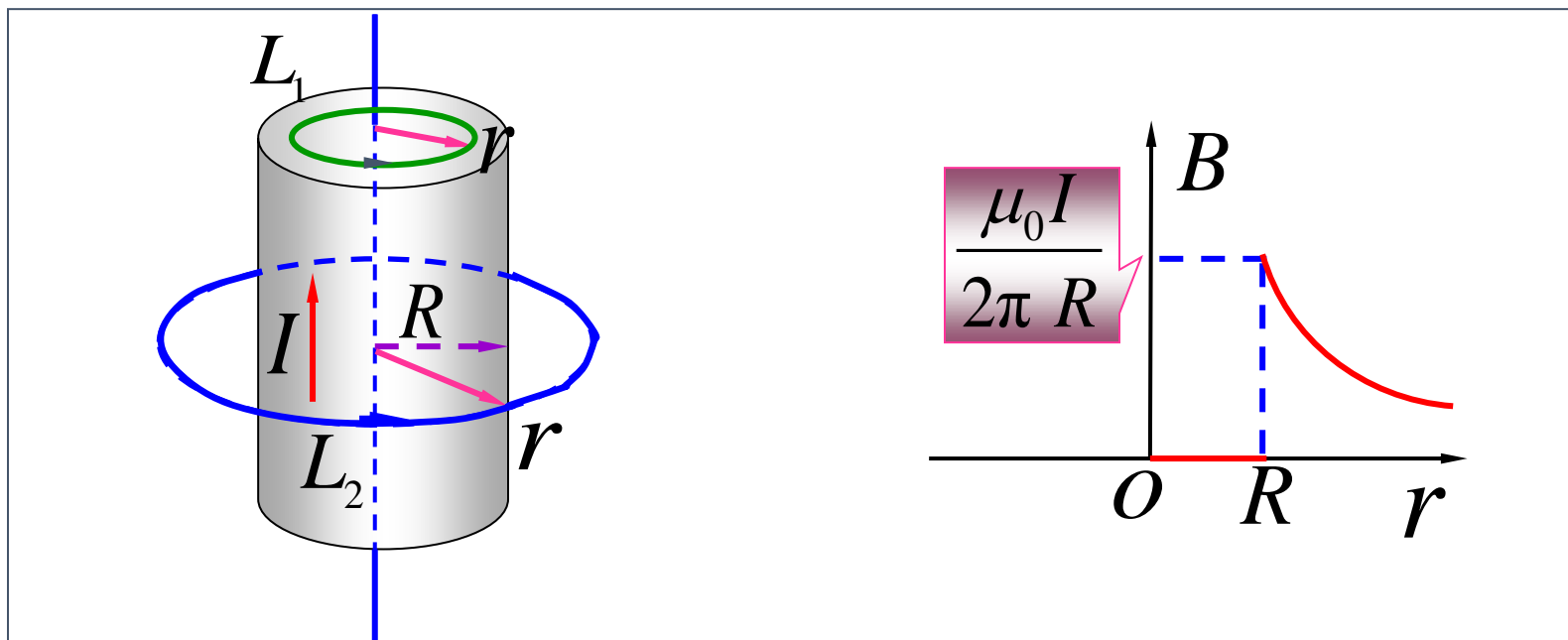


$\vec{B}$  的方向与  $I$  成右螺旋

$$\left\{ \begin{array}{l} 0 < r < R, \\ r > R, \end{array} \right. \quad \begin{array}{l} B = \frac{\mu_0 I r}{2\pi R^2} \\ B = \frac{\mu_0 I}{2\pi r} \end{array}$$



## 例：无限长载流圆柱面的磁场

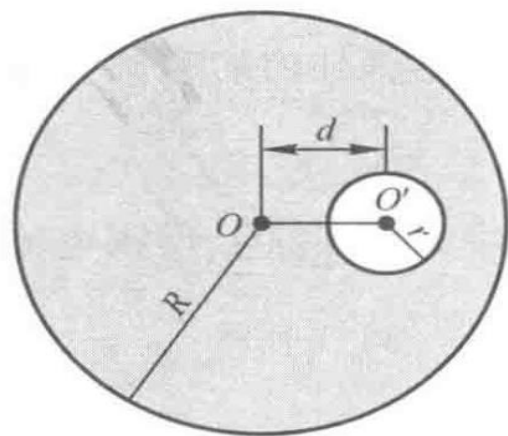


解  $0 < r < R, \oint_l \vec{B} \cdot d\vec{l} = 0 \quad B = 0$

$$r > R, \oint_l \vec{B} \cdot d\vec{l} = \mu_0 I \quad B = \frac{\mu_0 I}{2\pi r}$$



8-26. 在半径为  $R$  的无限长金属圆柱体内部挖去一半径为  $r$  的无限长圆柱体, 两柱体的轴线平行, 相距为  $d$ , 如习题 8-26 图所示。今有电流沿空心柱体的轴线方向流动, 电流  $I$  均匀分布在空心柱体的截面上。(1) 分别求圆柱轴线上和空心部分轴线上的磁感应强度的大小; (2) 当  $R = 1.0 \text{ cm}$ ,  $r = 0.5 \text{ mm}$ ,  $d = 5.0 \text{ mm}$  和  $I = 31 \text{ A}$  时, 计算上述两处磁感应强度的值。



习题 8-26 图

分析: 利用“补偿法”和磁感应强度的叠加原理求解。设想空心柱体由半径为  $R$  的电流均匀分布于圆截面的圆柱和半径为  $r$  的通有等值反向电流的圆柱构成。各处的磁感应强度, 为两个反向电流磁感应强度的矢量和。这两个无限长圆柱电流的磁感应强度都具有各自的轴对称分布, 可由安培环路定理求得。

解: 设半径为  $R$  的圆柱截面上均匀分布的电流为  $I_1$ , 半径为  $r$  的圆柱截面上均匀分布有与  $I_1$  流向相反的电流  $I_2$ , 有

$$I_1 = \frac{IR^2}{R^2 - r^2}, \quad I_2 = \frac{Ir^2}{R^2 - r^2}$$

设  $I_1$  和  $I_2$  在场点的磁感应强度分别为  $\mathbf{B}_1$  和  $\mathbf{B}_2$ , 有

$$\mathbf{B} = \mathbf{B}_1 + \mathbf{B}_2$$

(1) 圆柱轴线  $O$  点的磁感应强度  $B_0$ : 对半径为  $R$  的圆柱电流  $I_1$  而言,  $O$  点在轴线上, 故有  $B_1 = 0$ ; 对半径为  $r$  的圆柱电流  $I_2$  而言,  $O$  点在圆柱外。以  $O'$  为圆心, 以  $d$  为半径在截面内作安培环路, 有

$$\oint_L \mathbf{B}_2 \cdot d\mathbf{l} = B_2 \cdot 2\pi d = \mu_0 I_2$$

得

$$B_2 = \frac{\mu_0 I r^2}{2\pi d (R^2 - r^2)}$$

所以, 圆柱轴线  $O$  点的磁感应强度  $\mathbf{B}_0 = \mathbf{B}_2$ , 其方向垂直于  $d$ , 与  $I_2$  呈右手螺旋关系。

空心部分轴线  $O'$  点的磁感应强度  $B_{O'}$ :  $O'$  点处于圆柱电流  $I_2$  的轴线上, 故有  $B_2 = 0$ ; 对半径为  $R$  的圆柱电流  $I_1$ ,  $O'$  点处于圆柱内部。以  $O$  为圆心, 以  $d$  为半径在截面内作安培环路, 有

$$\oint_L \mathbf{B}_1 \cdot d\mathbf{l} = B_1 \cdot 2\pi d = \mu_0 I'_1$$

式中

$$I'_1 = \frac{I_1 d^2}{R^2} = \frac{Id^2}{R^2 - r^2}$$

是环路所围电流, 得

$$B_1 = \frac{\mu_0 Id}{2\pi(R^2 - r^2)}$$

所以, 空心部分轴线  $O'$  点的磁感应强度  $\mathbf{B}_{O'} = \mathbf{B}_1$ , 其方向垂直于  $d$ , 与  $I_1$  呈右手螺旋关系。

(2) 代入数据, 可得

$$B_O = 3.11 \times 10^{-6} \text{ T}, \quad B_{O'} = 3.11 \times 10^{-4} \text{ T}$$

8-47. 一螺线管长为 30 cm, 直径为 15 mm, 由绝缘的细导线密绕而成, 每厘米绕有 100 匝, 当导线中通以 2.0 A 的电流后, 把这螺线管放到  $B = 4.0 \text{ T}$  的均匀磁场中。求: (1) 螺线管的磁矩; (2) 螺线管所受力矩的最大值。

解: (1) 载流螺线管的磁矩为

$$m = NIS = 30 \times 100 \times 2 \times \pi \left( \frac{15 \times 10^{-3}}{2} \right)^2 = 1.06 \text{ A} \cdot \text{m}^2$$

(2) 螺线管所受力矩最大值为

$$M_{\max} = mB \sin \frac{\pi}{2} = 4.2 \text{ N} \cdot \text{m}$$

**9-6-1** 什么叫做位移电流？什么叫做全电流？位移电流和传导电流有什么不同？

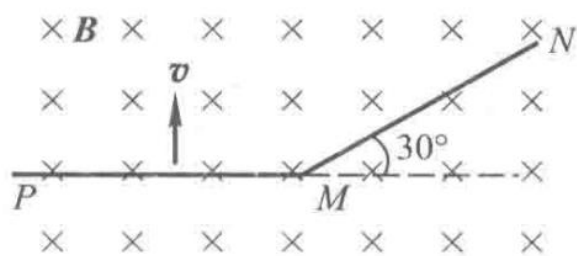
答：麦克斯韦总结了从库仑到安培和法拉第等人的电磁理论成就，并在此基础上指出，“不但变化的磁场可以激发电场，而且变化的电场也可以激发磁场”，麦克斯韦把电场的变化率看作是一种电流，称为是位移电流。位移电流的大小等于电位移通量对时间的变化率，即  $I_d = \frac{d\Psi_D}{dt}$ 。位移电流的这个表式可以从电容器

位移电流与电荷的定向运动所引起的传导电流不同，这里并没有电荷的宏观运动，也没有传导电流的热损耗，它之所以称为电流，是因为在激发磁场方面与通常的传导电流是等效的，而在其他方面存在根本的区别。由于在激发磁场方面的等效性，可以把传导电流  $I$  和位移电流  $I_d$  之和  $I_t = I + I_d$  叫做全电流。这样，安培环路定理就扩展为全电流的表示，

$$\oint \mathbf{H} \cdot d\mathbf{l} = \sum (I + I_d)$$

在电容器充放电时，导线中的传导电流和电容器内的位移电流保证了全电流的连续性。

9-5.  $PM$  和  $MN$  两段导线,其长均为  $10\text{ cm}$ ,在  $M$  处相接成  $30^\circ$  角,若使导线在均匀磁场中以速度  $v = 15\text{ m/s}$  运动,方向如习题 9-5 图所示,磁场方向垂直纸面向内,磁感应强度为  $B = 25 \times 10^{-2}\text{ T}$ ,问  $P$ 、 $N$  两端之间的电势差为多少? 哪一端电势高?



习题 9-5 图

解:取电动势的假定方向沿导线  $P \rightarrow M \rightarrow N$ 。  
对整段导线,有

$$\mathcal{E}_{PN} = \mathcal{E}_{PM} + \mathcal{E}_{MN}$$

其中  $\mathcal{E}_{PM} = (\mathbf{v} \times \mathbf{B}) \cdot \mathbf{l}_{PM} = vBl_{PM} \cos \pi = -vBl_{PM}$

$$\mathcal{E}_{MN} = (\mathbf{v} \times \mathbf{B}) \cdot \mathbf{l}_{MN} = vBl_{MN} \cos 150^\circ = -vBl_{MN} \cos 30^\circ$$

因  $l_{PM} = l_{MN}$ , 所以

$$\mathcal{E}_{PN} = \mathcal{E}_{PM} + \mathcal{E}_{MN} = -vBl_{PM}(1 + \cos 30^\circ) = -7.0 \times 10^{-3}\text{ V}$$

式中负号表明,导线上的动生电动势方向与假设方向相反,沿  $N \rightarrow M \rightarrow P$ 。

$P$ 、 $N$  两端间的电势差为

$$U_{PN} = V_P - V_N = -\mathcal{E}_{PN} = 7.0 \times 10^{-3}\text{ V}$$

运动导线上  $P$  端的电势高。

9-16. 在半径为  $a$  的无限长圆柱空间内, 均匀磁场随时间增大, 即  $\frac{dB}{dt} > 0$ 。 —

等腰梯形线框  $ABCD$ , 上底长为  $a$ , 下底长为  $2a$ , 放置如习题 9-16 图所示。试求线框各边上的感应电动势以及整个线框中的感应电动势。

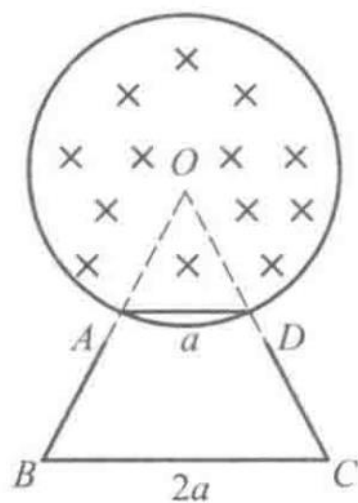
**解 1:** 根据电磁感应定律, 匀强磁场变化时, 有

$$\oint_L \mathbf{E} \cdot d\mathbf{l} = - \int_S \frac{\partial \mathbf{B}}{\partial t} \cdot d\mathbf{S} = - \frac{dB}{dt} \cdot S$$

式中  $\mathbf{E}$  为感生电场, 以同心圆方式分布在圆柱形磁场的内、外区域。 $S$  为任意回路  $L$  所围磁场的有向面积。

取逆时针绕向的三角形回路  $OADO$ , 有

$$\mathcal{E}_1 = - \frac{dB}{dt} \cdot S_{OAD} = \mathcal{E}_{OA} + \mathcal{E}_{AD} + \mathcal{E}_{DO}$$



习题 9-16 图

回路的  $OA$  和  $DO$  边处处与  $\mathbf{E}$  垂直, 即

$$\mathcal{E}_{OA} = \mathcal{E}_{DO} = 0$$

故有

$$\mathcal{E}_{AD} = \mathcal{E}_1 = -\frac{dB}{dt} S_{OAD} \cos \pi = \frac{dB}{dt} S_{OAD} = \frac{\sqrt{3}}{4} a^2 \frac{dB}{dt}$$

$\mathcal{E}_{AD}$  由  $A$  指向  $D$ 。

线框边  $AB$  和  $CD$  同样因处处与  $\mathbf{E}$  垂直, 有

$$\mathcal{E}_{AB} = \mathcal{E}_{CD} = 0$$

同理, 再取逆时针绕向的三角形回路  $OBCO$ , 有

$$\mathcal{E}_2 = -\frac{dB}{dt} \cdot S_{OBC} = \mathcal{E}_{OB} + \mathcal{E}_{BC} + \mathcal{E}_{CO} = \mathcal{E}_{BC}$$

式中  $\mathcal{E}_{OB} = \mathcal{E}_{OA} + \mathcal{E}_{AB} = 0$ ,  $\mathcal{E}_{CO} = \mathcal{E}_{CD} + \mathcal{E}_{DO} = 0$ ,  $S_{OBC}$  为回路所围磁场的扇形面积。由此可得

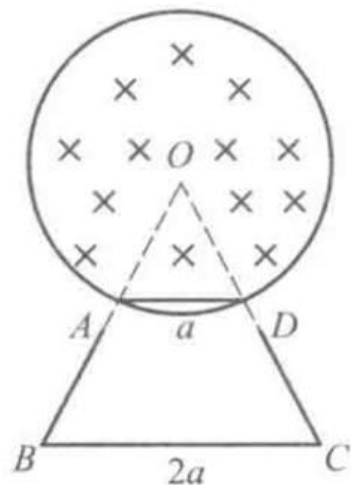
$$\mathcal{E}_{BC} = \mathcal{E}_2 = -\frac{dB}{dt} S_{OBC} \cos \pi = \frac{\pi a^2}{6} \frac{dB}{dt}$$

$\mathcal{E}_{BC}$  由  $B$  指向  $C$ 。

整个线框中的感应电动势为

$$\mathcal{E} = \mathcal{E}_{BC} - \mathcal{E}_{AD} = \left( \frac{\pi}{6} - \frac{\sqrt{3}}{4} \right) a^2 \frac{dB}{dt}$$

$\mathcal{E} > 0$ , 线框中电动势为逆时针绕向。





**例9-4** 半径为 $R$ 的无限长螺线管内部的磁场 $B$ 随时间作线性变化 ( $\mathrm{d}B/\mathrm{d}t = \text{常量}$ )。求管内外的感生电场。

**解：** 根据对称性取顺时针方向同心圆为回路

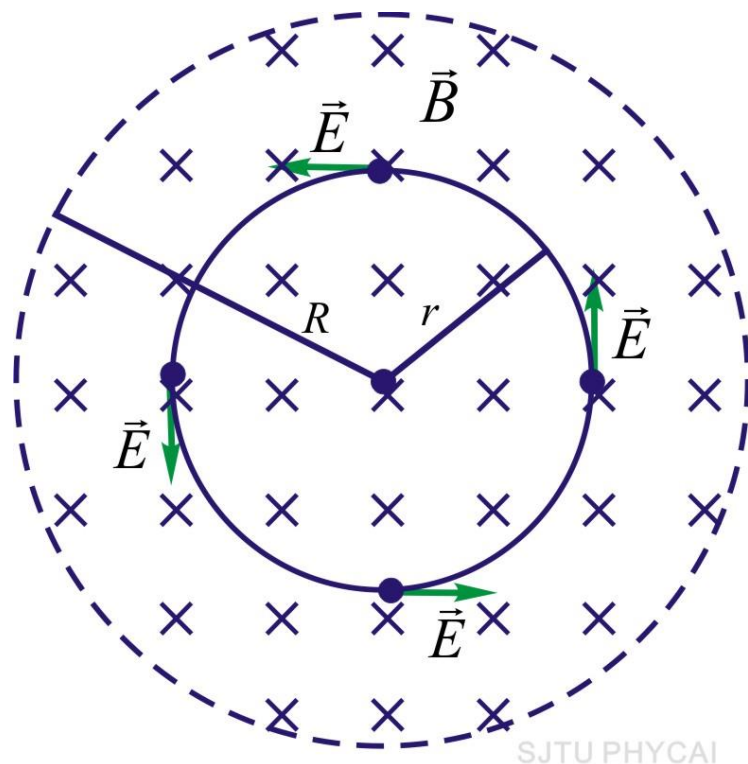
$r < R$  时：

$$\Phi = BS = B\pi r^2$$

$$\varepsilon_i = -\frac{\mathrm{d}\Phi}{\mathrm{d}t} = \oint_L \vec{E}_i \cdot \mathrm{d}\vec{l}$$

$$-(\pi r^2) \frac{\mathrm{d}B}{\mathrm{d}t} = E_i \cdot 2\pi r$$

$$\Rightarrow E_i = -\frac{r}{2} \frac{\mathrm{d}B}{\mathrm{d}t}$$



负号表示感生电场为逆时针方向 ( $\frac{\mathrm{d}B}{\mathrm{d}t} > 0$ ) (如图)

$r \geq R$  时：

$$\Phi = B \cdot \pi R^2$$

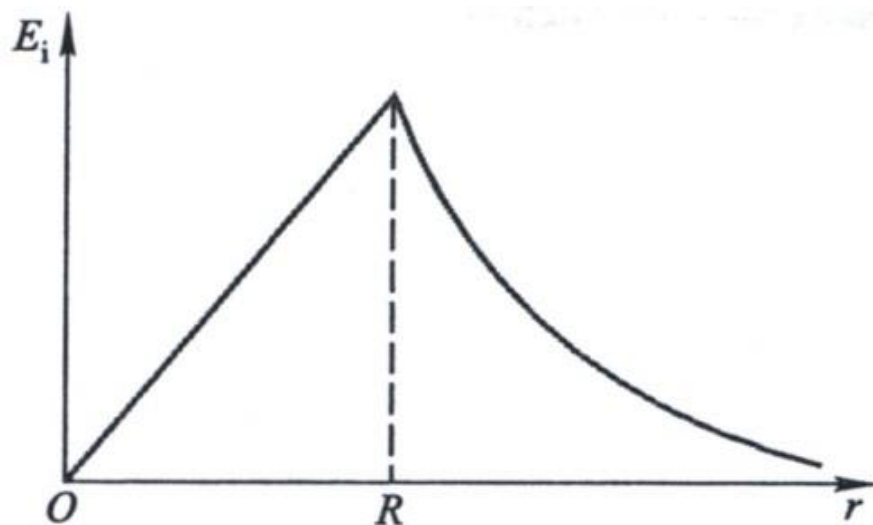
$$\varepsilon_i = -\frac{d\Phi}{dt} = \oint_L \vec{E}_i \cdot d\vec{l}$$

$$-\pi R^2 \frac{dB}{dt} = E_i 2\pi r$$

$$\Rightarrow E_i = -\frac{R^2}{2r} \frac{dB}{dt}$$

感应电场分布为

$$E_i = \begin{cases} -\frac{r}{2} \frac{dB}{dt} & r < R \\ -\frac{R^2}{2r} \frac{dB}{dt} & r \geq R \end{cases}$$



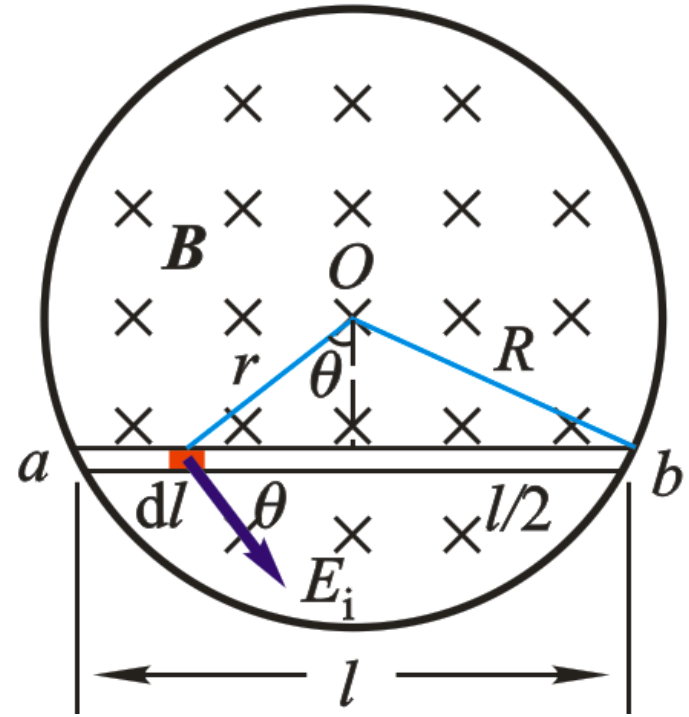
**例9-5** 半径为 $R$ 的圆柱形体积内充满磁感应强度 $B(t)$ 的均匀磁场，有一长为 $l$ 的金属棒放在其中，设 $dB/dt$ 已知，求棒两端的感生电动势。

**解：** 利用前面的结果

$$\mathbf{E}_i = -\frac{r}{2} \frac{dB}{dt}$$

金属棒两端的感生电动势

$$\varepsilon_{ab} = \int_a^b \vec{E}_i \cdot d\vec{l} = \int_a^b E_i \cos \theta dl$$



代入

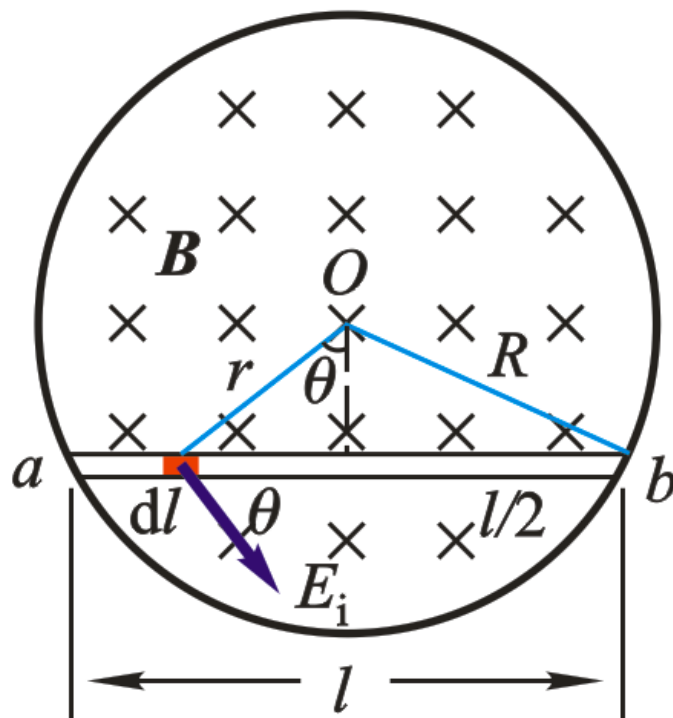
$$\cos \theta = \frac{\sqrt{R^2 - (L/2)^2}}{r}$$

解得

$$\varepsilon_{ab} = \int_a^b \frac{1}{2} r \frac{dB}{dt} \frac{\sqrt{R^2 - L^2/4}}{r} dl$$

$$= \frac{L}{2} \sqrt{R^2 - \left(\frac{L}{2}\right)^2} \frac{dB}{dt}$$

方向：  $a \rightarrow b$



解 2: 整个线框中的感应电动势也可由  $\mathcal{E} = \oint_L \mathbf{E} \cdot d\mathbf{l}$  求解。

如解图 9-16 所示, 取  $L$  为逆时针绕向。注意到  $AB$  和  $CD$  边处处与  $\mathbf{E}$  垂直, 故有

$$\mathcal{E} = \oint_L \mathbf{E} \cdot d\mathbf{l} = \int_{BC} \mathbf{E}_2 \cdot d\mathbf{l} + \int_{DA} \mathbf{E}_1 \cdot d\mathbf{l}$$

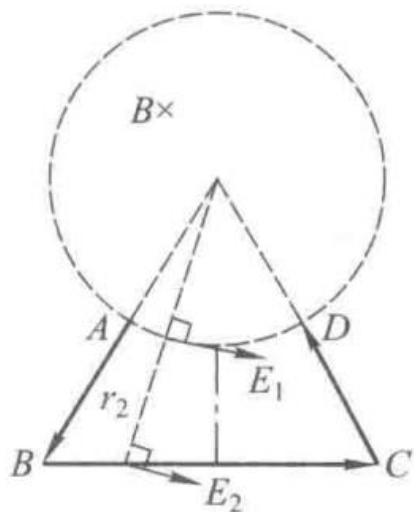
式中  $\mathbf{E}_1$  和  $\mathbf{E}_2$  分别为圆柱区域内、外的感生电场强度, 均与圆柱径向相垂直,

$$E_1 = \frac{r_1}{2} \frac{dB}{dt}, \quad (r_1 < a); \quad E_2 = \frac{a^2}{2r_2} \frac{dB}{dt}, \quad (r_2 > a)$$

$$\text{所以 } \mathcal{E} = \int_{BC} \frac{a^2}{2r_2} \frac{dB}{dt} \cos \theta dl_2 + \int_{DA} \frac{r_1}{2} \frac{dB}{dt} \cos(\pi - \theta) dl_1$$

将几何关系  $\cos \theta dl_2 = r_2 d\theta$  和  $r_1 \cos \theta = h_1 = \frac{a}{2} \sqrt{3}$  代入上式, 得

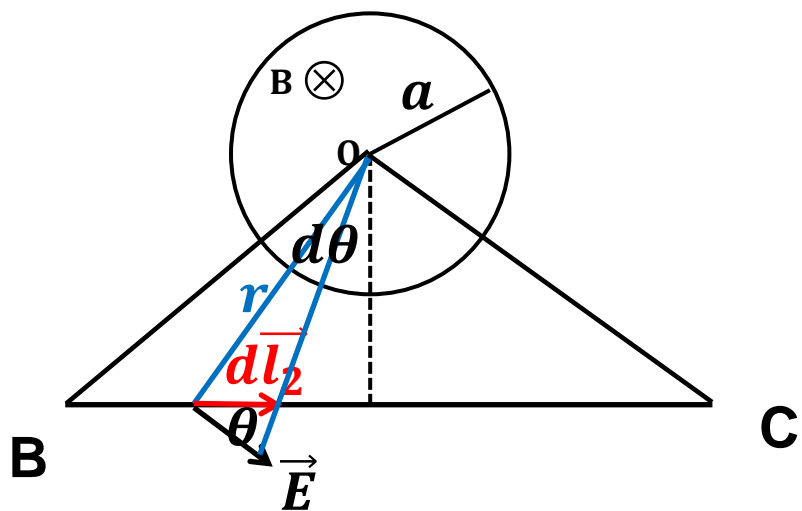
$$\mathcal{E} = \frac{a^2}{2} \frac{dB}{dt} \int_{-\pi/6}^{\pi/6} d\theta - \frac{a}{4} \sqrt{3} \frac{dB}{dt} \int_0^a dl_1 = \left( \frac{\pi}{6} - \frac{\sqrt{3}}{4} \right) a^2 \frac{dB}{dt}$$



解图 9-16

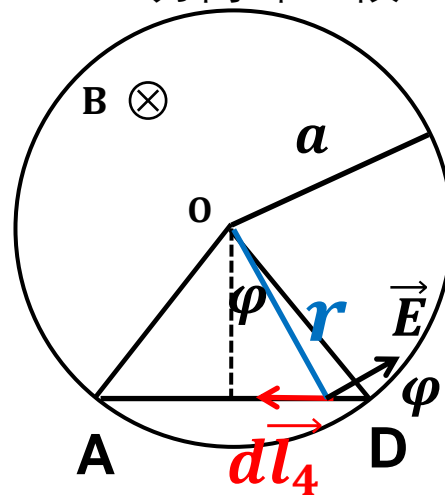
取逆时针绕行回路ABCD

BC 方向中一段



$$dl_2 \cos \theta = r d\theta$$

DA 方向 中一段



$$r dl_4 \cos(\pi - \varphi) = -\frac{\sqrt{3}a}{2} dl_4$$

12-14. 一平面单色光波垂直照射在厚度均匀的薄油膜上,油膜覆盖在玻璃板上,所用单色光的波长可以连续变化,观察到 500 nm 与 700 nm 这两个波长的光在反射中消失。油的折射率为 1.30,玻璃的折射率为 1.50,试求油膜的最小厚度。

分析:在油膜上、下表面的反射光都发生  $\pi$  的相位突变。

解:设油膜和玻璃板都处在空气中,薄油膜的厚度为  $e$ ,空气的折射率为  $n_1$ ,油膜和玻璃的折射率分别为  $n_2$  和  $n_3$ 。 $\lambda_1 = 500$  nm,  $\lambda_2 = 700$  nm。反射光干涉极小时的光程差满足条件

$$2en_2 = (2k_1 + 1)\frac{\lambda_1}{2}, \quad 2en_2 = (2k_2 + 1)\frac{\lambda_2}{2}$$

可解得

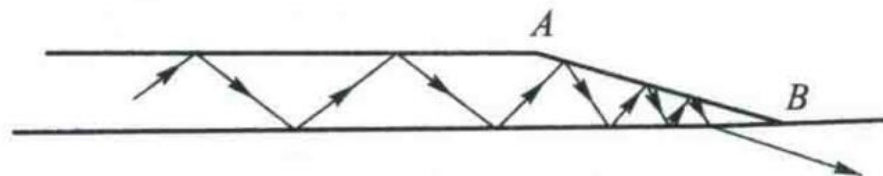
$$5k_1 = 7k_2 + 1$$

上式成立的最小级次为  $k_1 = 3, k_2 = 2$ , 所以

$$e = \frac{(2k_1 + 1)\lambda_1}{4n_2} = \frac{(2 \times 3 + 1) \times 500}{4 \times 1.30} \text{ nm} = 673 \text{ nm}$$

**12-21** 集成光学中的劈形薄膜耦合器如图所示,它由沉积在玻璃衬底上的  $\text{Ta}_2\text{O}_5$  薄膜构成,劈形端从  $A$  到  $B$  厚度逐渐减小到零. 能量由薄膜耦合到衬底中. 为测定薄膜的厚度,用波长为  $632.8 \mu\text{m}$  的氦氖激光垂直照射,观察到劈形端共出现 11 条暗纹,且  $A$  处对应一条暗纹. 已知  $\text{Ta}_2\text{O}_5$  对  $632.8 \mu\text{m}$  激光的折射率为 2.21,求薄膜的厚度.

$nm$



习题 12-21 图

**解：由暗纹条件**

$$\begin{aligned}\delta &= 2ne + \lambda/2 \\ &= (2k+1) \lambda/2 \quad (k=0,1,2\dots)\end{aligned}$$

**知,第11条暗纹对应于  $k=10$ ,代入上式得**

$$e = k\lambda / 2n$$

**所以  $\text{SiO}_2$  薄膜的厚度为  $1.43 \mu\text{m}$ 。**



12-34. 波长 600 nm 的单色光垂直入射在一光栅上。第二级明条纹出现在  $\sin \theta = 0.20$  处, 第四级缺级。试问: (1) 光栅上相邻两缝的间距  $(a+b)$  有多大? (2) 光栅上狭缝可能的最小宽度  $a$  有多大? (3) 按上述选定的  $a$ 、 $b$  值, 试问在光屏上可能观察到的全部明条纹数是多少?

分析: 光栅的多光束干涉主极大光强受单缝衍射光强的调制。干涉主极大位置由光栅方程决定, 主极大与单缝衍射极小在位置上重合时, 该级干涉主极大缺级, 联立方程求解。

解: (1) 由光栅方程  $(a+b) \sin \theta = k\lambda$   
和  $k=2$  时  $\sin \theta = 0.20$   
得光栅常量 
$$a+b = \frac{k\lambda}{\sin \theta} = \frac{2 \times 600 \times 10^{-9}}{0.20} \text{ m} = 6 \times 10^{-6} \text{ m}$$

(2) 由  $(a+b) \sin \theta = k\lambda$  和  $a \sin \theta = k'\lambda$   
因第四级缺级, 有 
$$\frac{a+b}{a} = \frac{k}{k'} = \frac{4}{1} = \frac{8}{2} = \dots$$

得 
$$a = \frac{a+b}{4} = \frac{6 \times 10^{-6}}{4} \text{ m} = 1.5 \times 10^{-6} \text{ m}$$

(3) 在光栅方程中,令  $\sin \theta = 1$ ,可解得  $k = 10$ ,其中  $k = \pm 4, \pm 8$  缺级, $k = \pm 10$  的主极大在  $\theta = \pm \frac{\pi}{2}$  处,实际不可见。所以,在光屏上可观察到的全部明条纹的级次为  $k = 0, \pm 1, \pm 2, \pm 3, \pm 5, \pm 6, \pm 7, \pm 9$ ,共 15 条。

12-46. 使自然光通过两个偏振化方向成  $60^\circ$  角的偏振片, 透射光强为  $I_1$ 。今在这两个偏振片之间再插入另一偏振片, 它的偏振化方向与前两个偏振片均成  $30^\circ$  角, 则透射光强为多少?

解: 设强度为  $I_0$  的自然光, 依次通过偏振片 A、B、C。A、C 间的夹角为  $\theta_1 = 60^\circ$ , A、B 与 B、C 间的夹角均为  $\theta_2 = 30^\circ$ 。自然光入射于起偏器 A 后的透射光为线偏振光, 即

$$I_A = \frac{1}{2} I_0$$

插入 B 前, 透过 C 的光强为

$$I_1 = I_A \cos^2 \theta_1 = \frac{I_0}{2} \cos^2 60^\circ = \frac{1}{8} I_0$$

插入 B 后, 设透过 B 和 C 的光强为分别为  $I_B$  和  $I_2$ , 有

$$I_B = I_A \cos^2 \theta_2 = \frac{I_0}{2} \cos^2 30^\circ = \frac{3}{8} I_0$$

$$I_2 = I_B \cos^2 \theta_2 = \frac{3}{8} I_0 \cos^2 30^\circ$$

解得

$$I_2 = \frac{9}{32} I_0 = \frac{9}{32} \times 8 I_1 = 2.25 I_1$$